

Apport du caryotype dans les formes frontières
maladie de Waldenström/lymphome de la zone
marginale splénique (MW/LZMS)

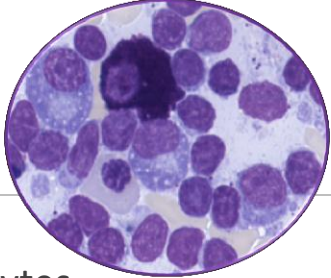
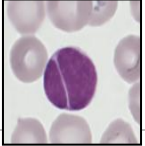
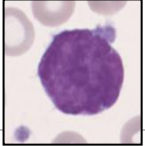
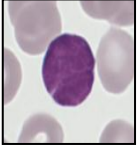
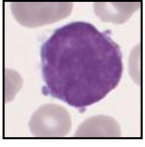
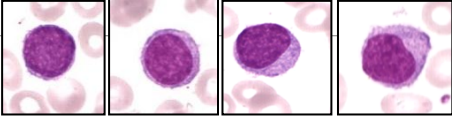
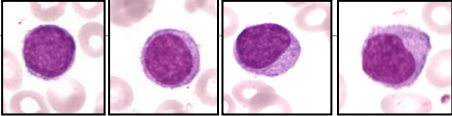
- There are no disease-specific chromosome abnormalities associated with Hairy cell leukaemia or Waldenstrom macroglobulinaemia/lymphoplasmocytic lymphoma and therefore chromosome banding analysis is not required.
- Mutation screening should be undertaken for these entities

Maladie de Waldenström :

Lymphome lymphoplasmocytaire avec envahissement de la moelle osseuse et pic IgM

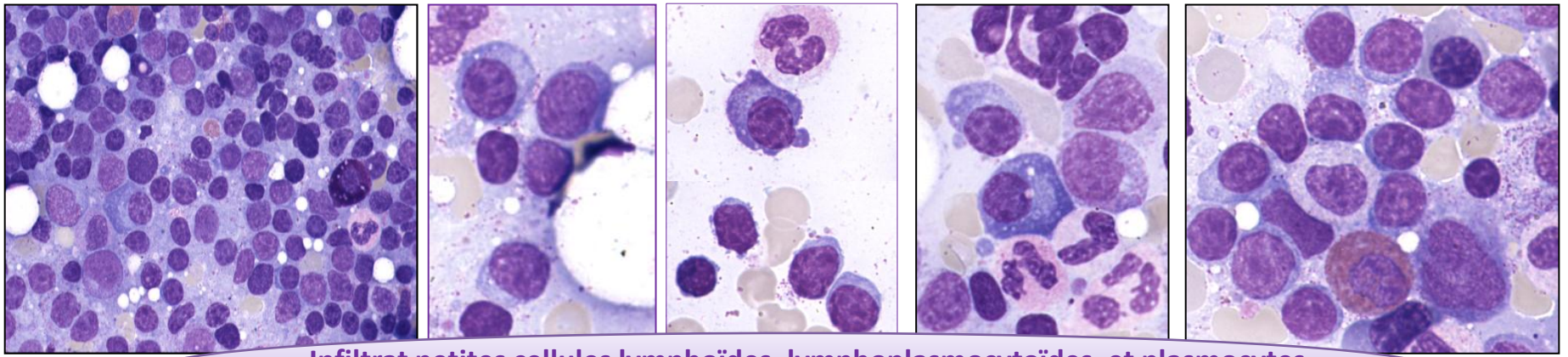
Petits lymphocytes B, lymphoplasmocytes, plasmocytes

MYD88 >90% cas

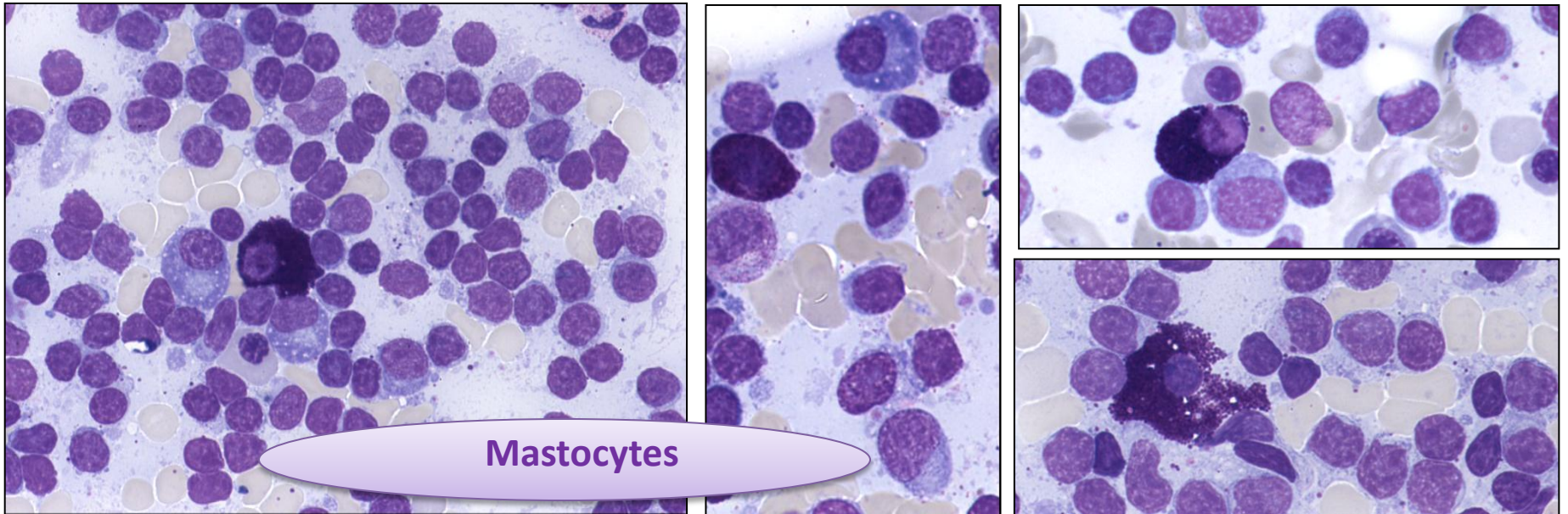
	LPL/MW	LZMS	LF	LCM
Moelle	Infiltration 100%	Infiltration 85%		
	interstitielle nodulaire diffuse 	sinusoïdale nodulaire et/ou interstitielle <i>paratrabéculaire et/ou intertrabéculaire</i>	nodulaire 	nodulaire 
	Lymphocytes Lymphoplasmocytes Plasmocytes (10-15%)	Lymphocytes « Lymphoplasmocytes » +/- Plasmocytes (<10%) <i>(Différentiation plasmocytaire ~21%)</i>		
	Mastocytes +++	-/+ 	-/+	-/+
Sang	10%	85% 	<10%	50-75%

2 entités distinctes (OMS2016)





Infiltrat petites cellules lymphoïdes, lymphoplasmocytoïdes, et plasmocytes



Mastocytes



Dissémination sanguine

**Lymphome des cellules
de la zone marginale splénique
LZMS**

Distinctive Clinical and Histological Features
of Waldenström's Macroglobulinemia
and Splenic Marginal Zone Lymphoma

Luca Arcaini,¹ Marzia Varettoni,¹ Emanuela Boveri,¹ Ester Orlandi,¹
Sara Rattotti,¹ Silvia Zibellini,¹ Michele Merli,¹ Marco Lucioni,¹ Silvia Rizzi,¹
Manuel Gotti,¹ Lucia Morello,¹ Cristiana Pascutto,¹ Marco Paulli¹

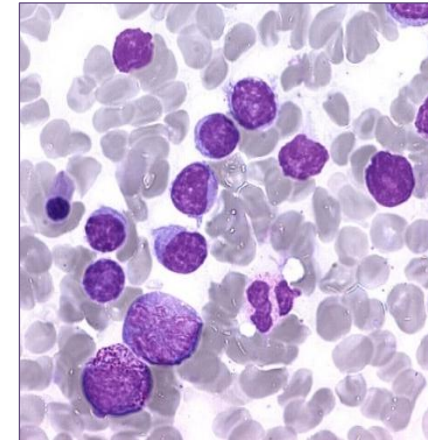
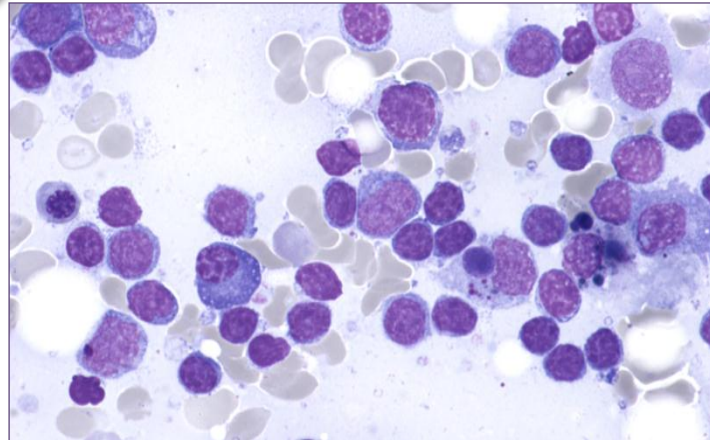
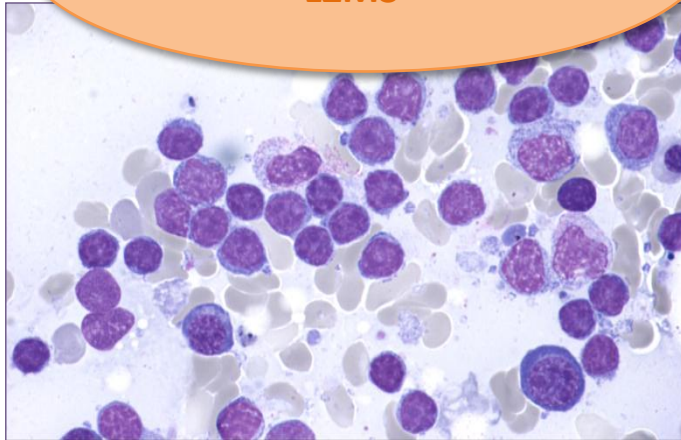
Clinical Lymphoma, Myeloma & Leukemia, Vol. 11, No. 1, 103-105, 2011

Splenic marginal zone lymphoma

Miguel A. Piris^{a,*}, Arantza Onaindia^a, Manuela Mollejo^b

^a Servicio de Anatomía Patológica, Hospital Universitario Marqués de Valdecilla, Santander, Spain
^b Servicio de Anatomía Patológica, Hospital Virgen de la Salud, Toledo, Spain

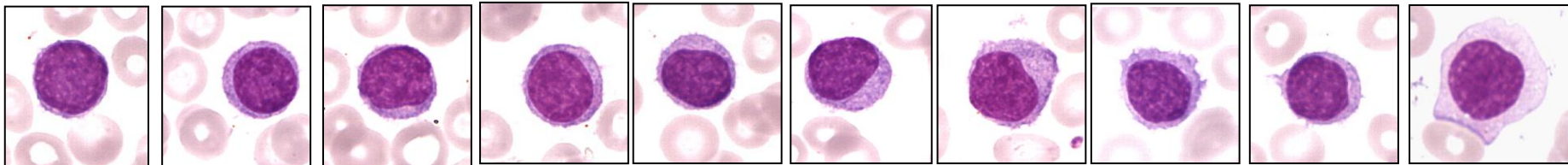
Best Practice & Research Clinical Haematology 30 (2017) 56–64



Infiltration médullaire (80-85%) : intrasinusoïdal, nodulaire et/ou interstitielles, *para- et inter-trabéculaire*,

Différentiation plasmocytaire (21%) dont 61% avec composant monoclonal (83% IgM, 17% IgG)(GHS n=103)

Dissémination sanguin fréquente (85%)



IELSG-36
BRISMA
Bendamustine and Rituximab for the treatment of
Splenic Marginal Zone Lymphoma.
The IELSG-36 phase II prospective study
EudraCT Number 2011-000880-28



LZMS = Diagnostic difficile en l'absence de preuve histologique

Approche immunophénotypique chez patient avec IgM monoclonale

Recherche population lymphocytaire B monotypique (sang ou moelle)
→ calcul du score de Matutes

Marqueurs
Intensité des Ig de surface
CD5
CD23
FMC7
CD22 ou CD79b

Score < 3

Orientation vers MW/LZM

- Phénotype CD22^{+faible}CD25⁺ :
"hallmark" de MW
CD22^{+ faible} (81% des cas)
Paiva B et al, Blood, 2015
- Phénotype **CD13⁺**
Raimbault et al, BJH, 2018
- Expression hétérogène : **CD27** (51%), **CD38** (50%), **CD200** (62%), **FMC7** (70%)
- Composant plasmocytaire** monoclonal CD38⁺CD138⁺, même restriction isotypique, CD19⁺, CD45⁺, CD56⁻, souvent CD20⁺

Score = 3

Evaluation européenne multicentrique (ERIC and ESCCA)

Rawström et al, Cytometry Part B, 2018
Panel Dg "requis" : CD19, K, L, CD5, CD20, CD23
Panel Dg "recommandé" :
CD43, CD79b, CD81, **CD200**, CD10 & **ROR-1**

Score = 4 ou 5

LLC/LNH lymphocytaire/MBL

LLC atypique

ROR-1⁺
CD200^{+high}

ROR-1⁻
CD200^{+dim}

Owen RG et al, Hematological oncology, 2000
San Miguel JF et al, Semin Oncol, 2003
Paiva B et al, Leukemia, 2014

La grande difficulté : distinction phénotypique MW et LZM

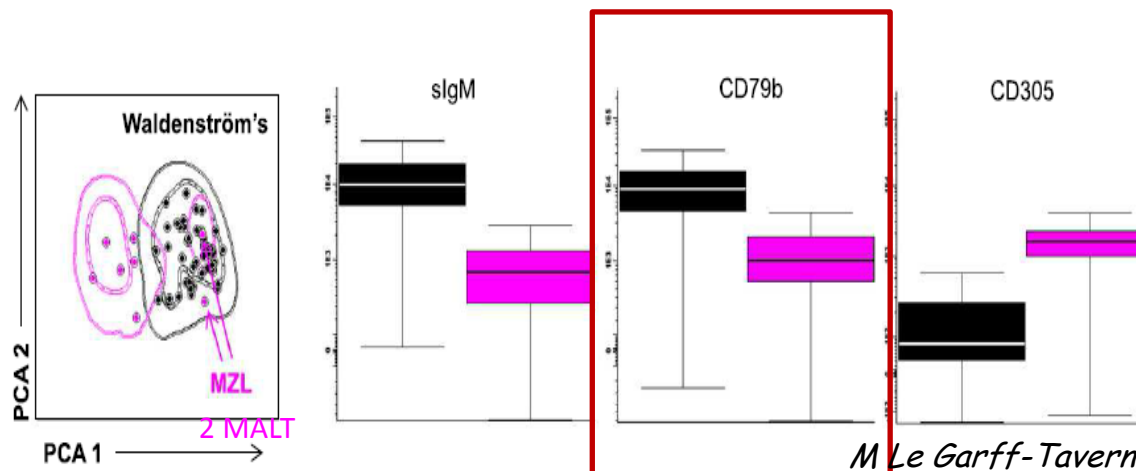
- Approche Euroflow : 17 marqueurs en 4 tubes 8 couleurs
Analyse composante principale (PCA)
Infinicyt®

CD38/CD45/**slgM**/CD27/CD79b/CD19/cyIgκ/cyIgλ
CD38/CD45/**CD20**/CD25/CD22/CD19/cyIgκ/cyIgλ
CD38/CD45/**CD103**/CD305/CD11c/CD19/cyIgκ/cyIgλ
CD38/CD45/**CD10**/CD200/CD5/CD19/cyIgκ/cyIgλ

- But : signature phénotypique “iPEP” (immunophenotypic Protein Expression Profile)
- Distinction MW et autres SLP-B
difficultés persistantes pour la distinction avec les lymphomes lymphoplasmocytaires et les LZM !

Paiva B et al, Leukemia, 2014

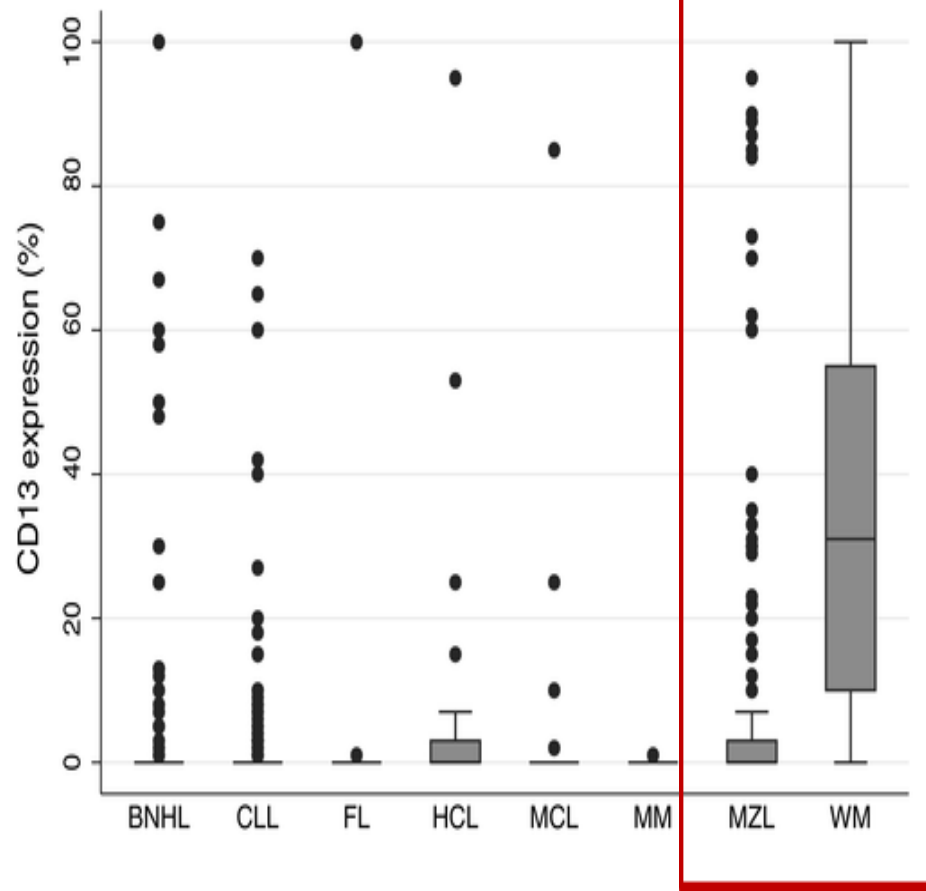
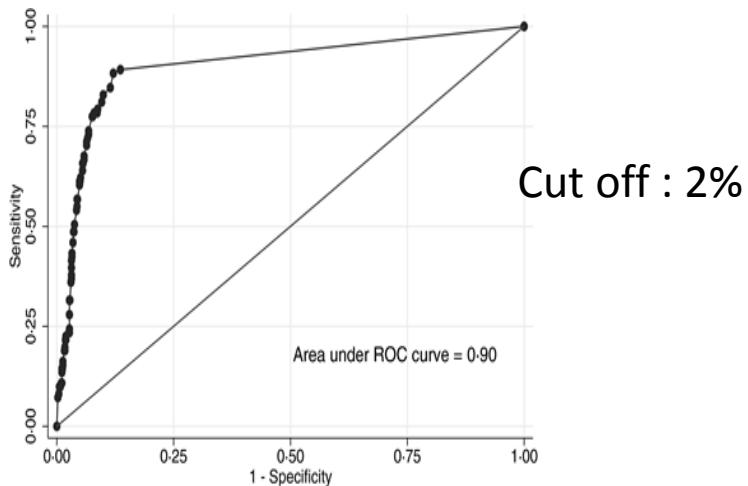
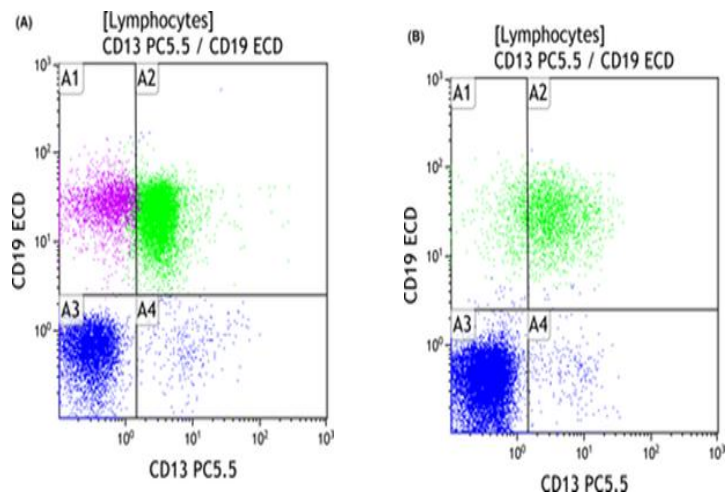
- Marqueurs les plus discriminants pour distinction des cellules de MW des LZM :
slgM, **CD79b** (surexprimés IgM MGUS/MW), **CD305** (négatif dans MW et up-régulé dans LZM)



Paiva B et al, Blood, 2015

M Le Garff-Tavernier, Congrès GFHC, mai 2019

Nouveauté 2018 : apport du CD13



Lymphome lymphoplasmocytaire

Architecture

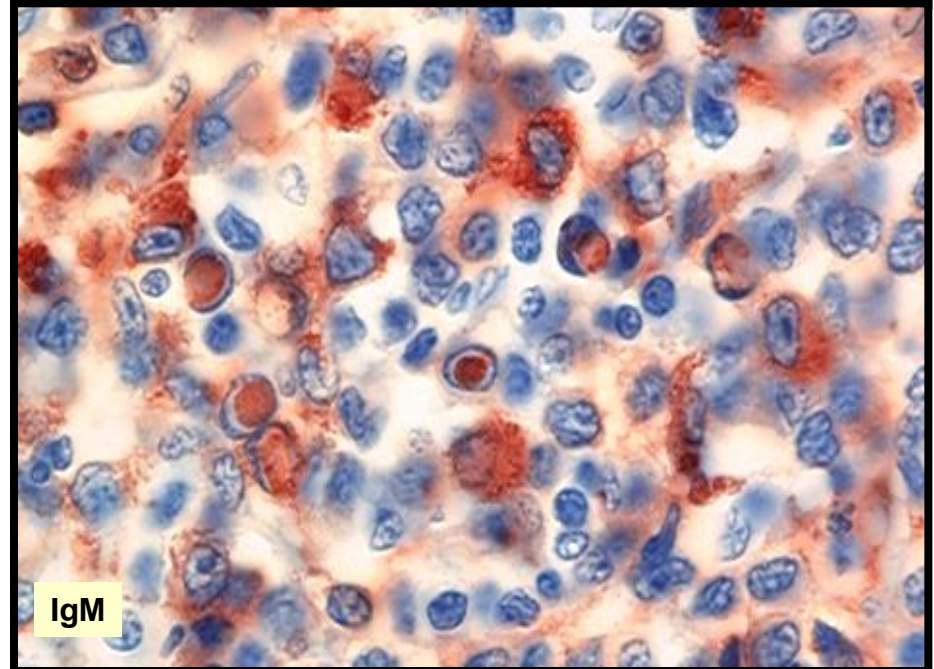
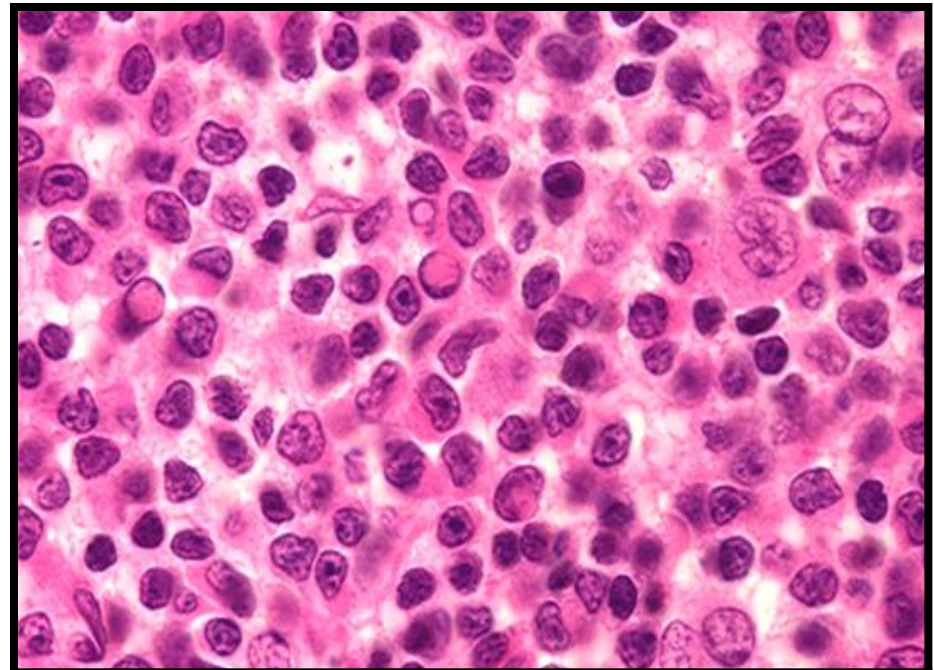
- diffuse, en plages, plus rarement interstitiel ou nodulaire
- absence de centres de prolifération

Cellules

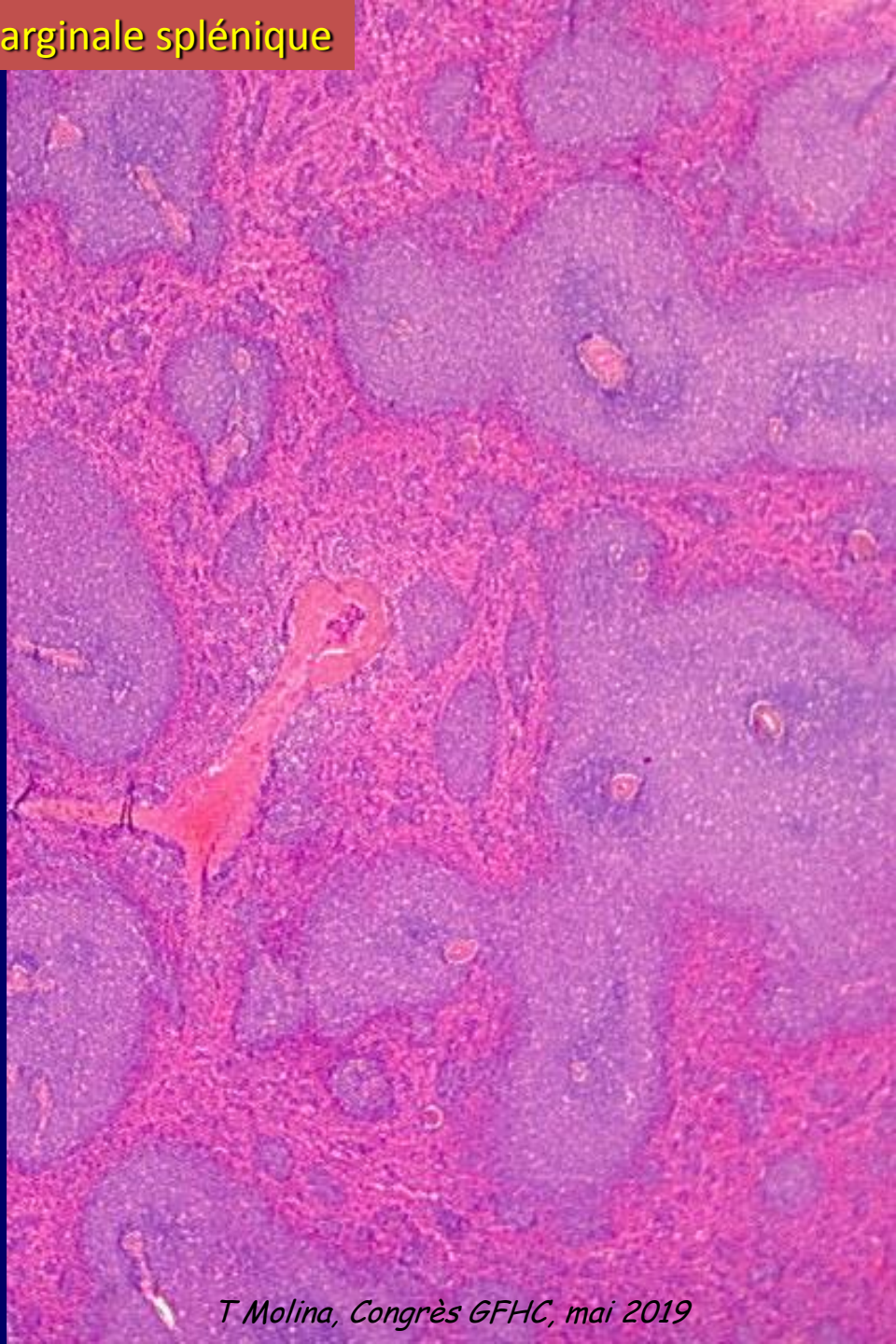
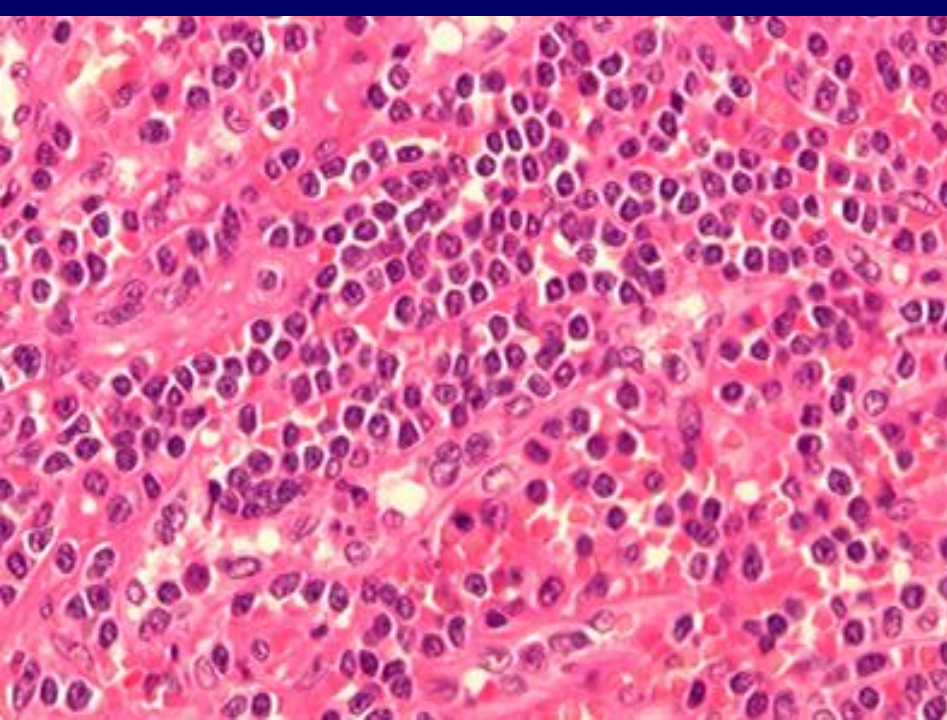
- petits lymphocytes
- lymphocytes plasmocytoïdes (Dutcher bodies)
- plasmocytes

Lésions associées

- hyperplasie mastocytaire
- histiocytes épithélioïdes
- Myélofibrose systématisée (moelle)



LM de la zone marginale splénique



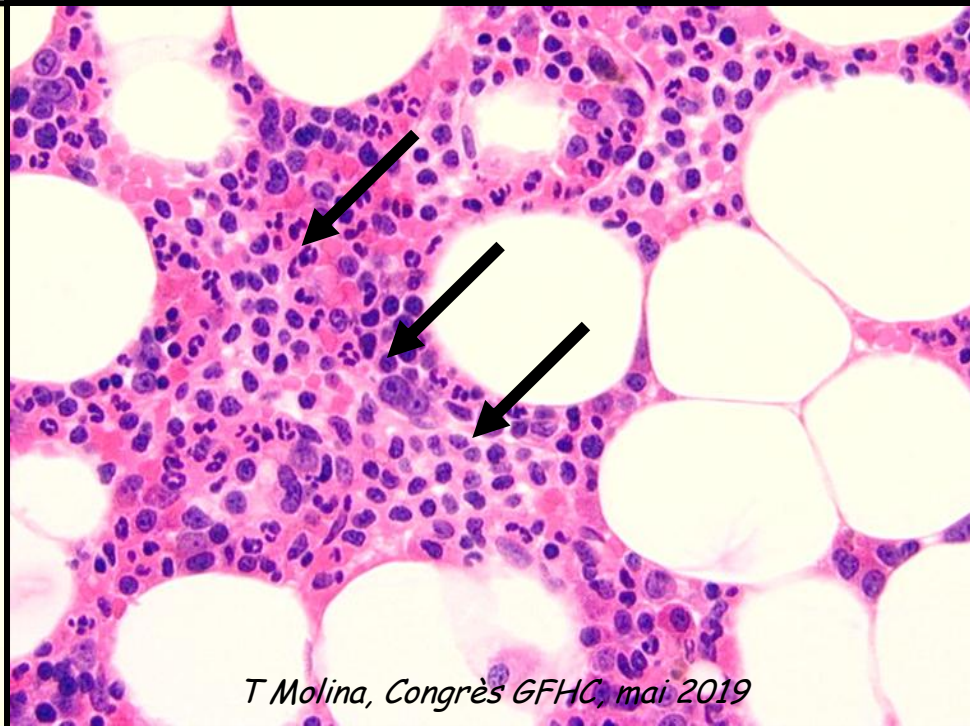
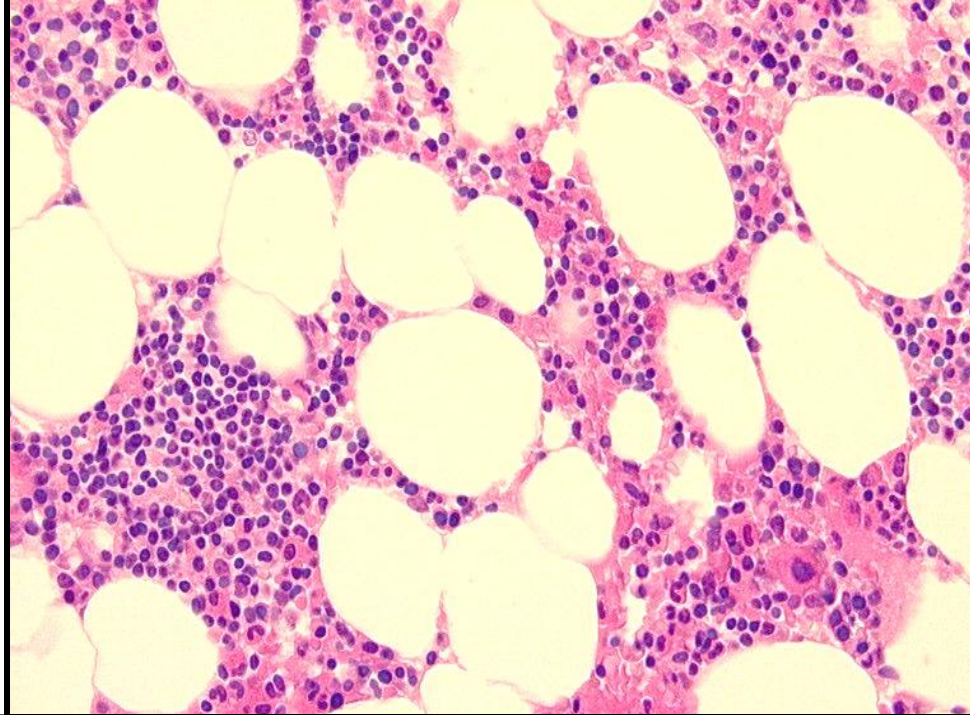
Lymphome à petites cellules B

Diagnostic sur BOM

Leur classification est difficile dans la moelle osseuse : pas de critère absolu

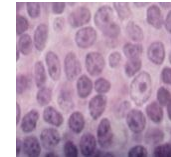
Infiltration de la moelle osseuse

- interstitielle
- nodulaire : paratrabéculaire
centromédullaire
- massive
- Intravasculaire



« Epidémiologie » des mutations *MYD88L265P*

MGUS IgM : 50%



20 à 30% DLBC ABC
Formes extranodales

Lymphome lymphoplasmocytaire
non IgM : 50%

Amylose IgM : 75%

MW > 90%

Rare

Absente

< 10% MZL (IgM)



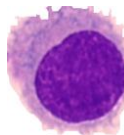
LNH manteau

< 5% LNH



Myélome à IgM

< 5% LLC



Myélome

Absent LLC IgM

IgG /IgA MGUS

Cryoglobuline

Amylose non Ig M

Leucémie à tricholeucocytes

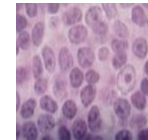
MYD88 L265P : Un marqueur diagnostic

Mais l'absence de ce variant n'exclut pas (encore) le diagnostic de MW

	MW (n)	Technique	MYD88 L265P	Profils MYD88 <i>wild</i>
 Treon <i>et al</i> NEJM, 2012	54	Sanger Whole genome	90%	MLL2 muté (n=2)
 Treon <i>et al</i> NEJM, 2015	2	Sanger		Autres mutations de MYD88: M232T, S243N, ...
 Baer <i>et al</i> Leukemia 2016	78	NGS	86%	Autres mutations de MYD88
 Xu <i>et al</i> Blood, 2013	104	AS PCR	93%	↓ BM, IgM, hypogammaglobulinémie
 Gimenez <i>et al</i> , Leukemia, 2013	117	Q PCR	86%	↓IgM, ↑Lymphocytose, LDH, CD27+CD23+ FMC7++ Vh UM, ↓Vh3-23
 Poulain <i>et al</i> , Blood, 2013	67	Sanger	79%	Femme, Splénomégalie CD27+, +3
 Hunter <i>et al</i> Blood Adv 2018	280	WES (n= 69)	64%	Autres mutations de la voie NFKB (<i>TBLIXR1</i> ,...) Risque de transformation en DLBCL
 Treon <i>et al</i> BJH 2018	308	AS PCR	MYD88WT n=46	Pronostic péjoratif Risque de transformation en DLBCL <i>S Poulain, Congrès GFHC, mai 2019</i>

« Epidémiologie » des mutations *CXCR4*

MGUS IgM :
20% *CXCR4S338X*



<5%
DLBC ABC/GC

Lymphome
Lymphoplasmocytaire non IgM
25%

Absente dans les LCP

MW 30-40%

Rare

Absente

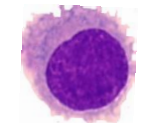
< 10% MZL (IgM)



< 5% LNH
Folliculaire



<5% LLC



Myélome à IgM
Myélome
IgG /IgA MGUS
Cryoglobuline
Amylose non Ig M
LNH manteau
Leucémie à tricholeucocytes

MW: Une frontière moléculaire ?

	MW	MGUS IgM	LZMS	LF t(14;18)	LCM t(11;14)
MYD88 L265P	90 à 95%	40 à 50%	<5%	rare	absente
Autres mutations MYD88	rare	rare	<5%	absente	absente
CXCR4 WHIM like	30 à 40 %	25%	<5%	rare	absente
CD79A / CD79B	<10%	<5%	<5%	<5%	rare
TNFAIP3	<5%	<5%	<5 à 10%	<5%	<5%
<i>KLF2</i>	<5%	ND	30 à 50%	rare	rare
<i>Notch2. Notch1</i>	rare	rare	15 à 20%	rare	<10%
<i>MLL2/ KMT2D</i>	rare (MYD Neg)	Rare	5 à 15%	90%	rare
Epigénétique (<i>CREEBP,</i> <i>EZH2,...</i>)	rare	rare	rare	30%	rare
<i>TP53</i> <i>Un facteur pronostique</i> <i>« universel »</i>	10%	rare	10 à 15%	10 à 15%	20%

Aucune anomalie chromosomique spécifique

Maladie de Waldenström

Anomalies les plus fréquentes :

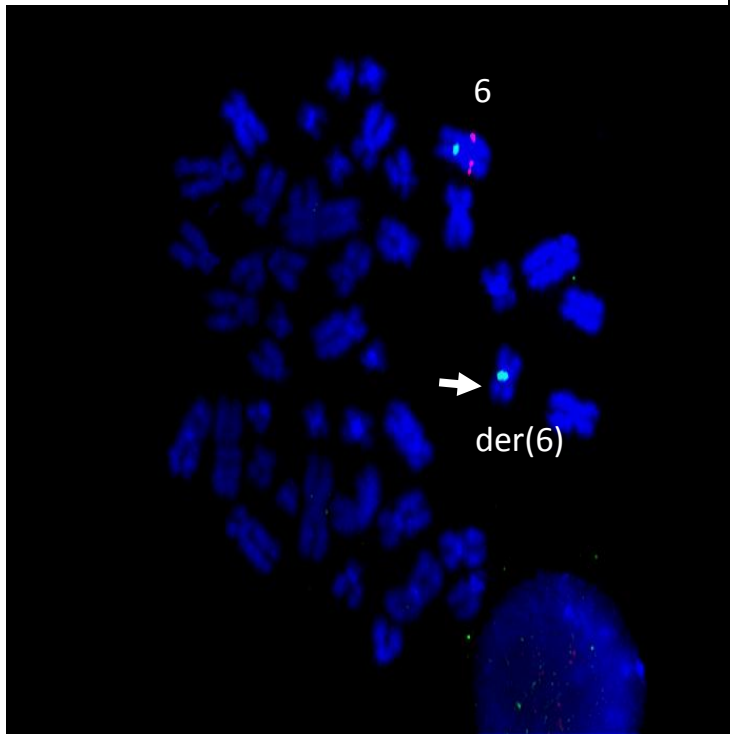
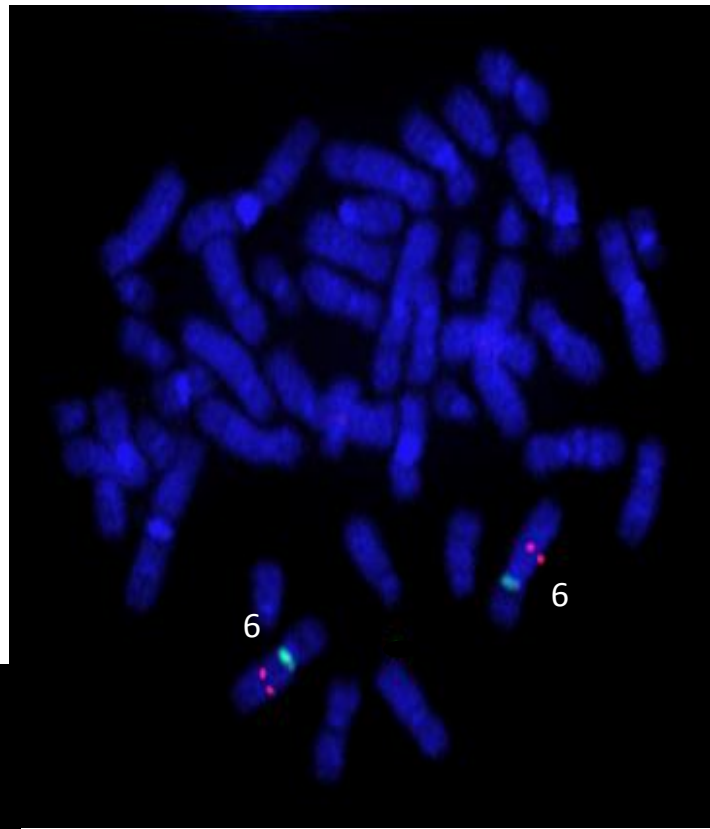
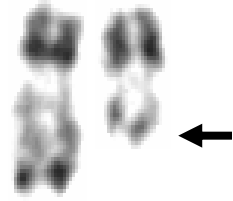
Délétion 6q : 31-54%

Trisomie 4 / 4q : 8-20%

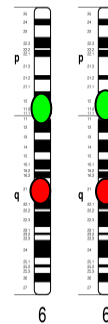
Délétion 13q : 9-13%

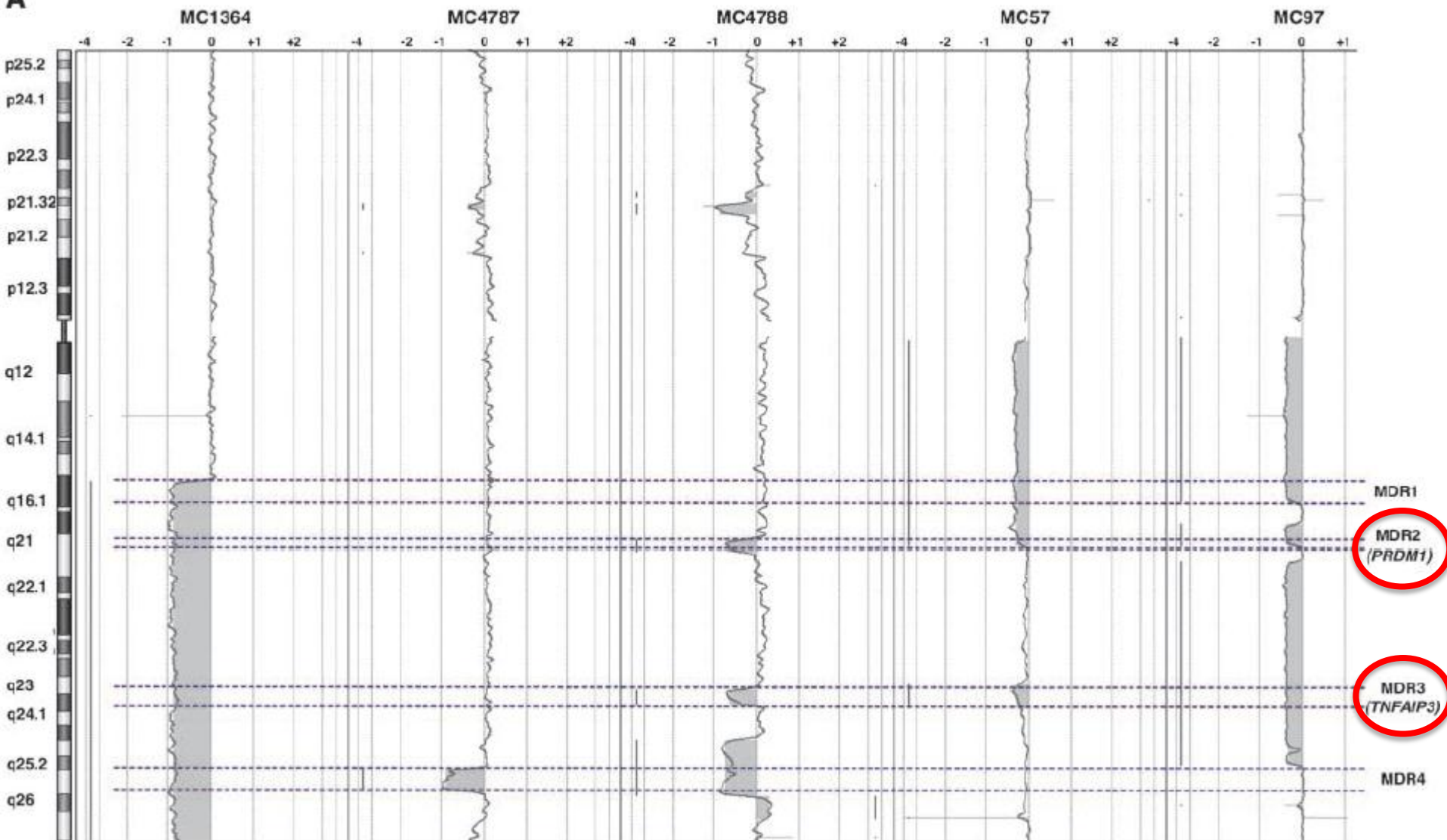
Trisomie 18 / 18q : 5-15%

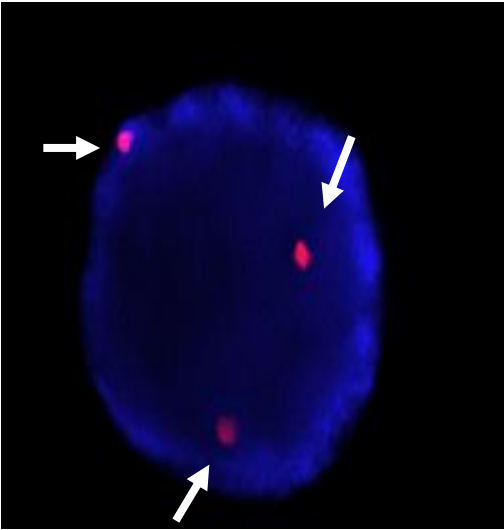
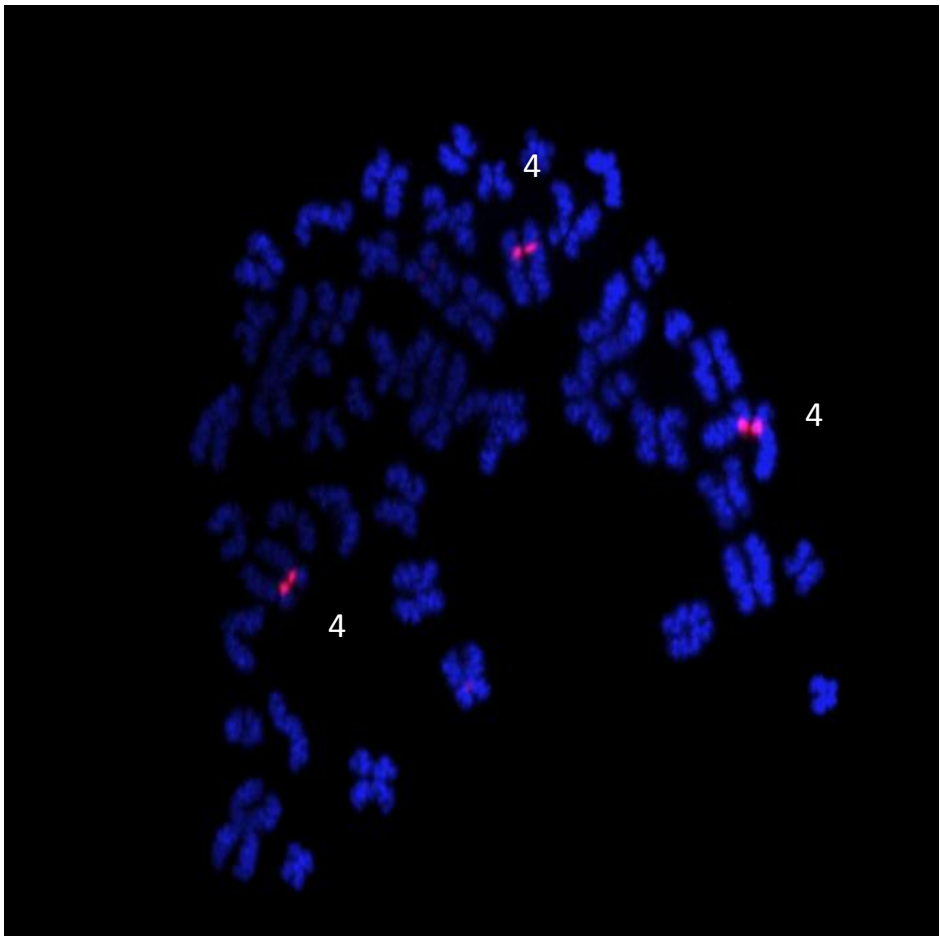
Délétion 6q



Mitose normale



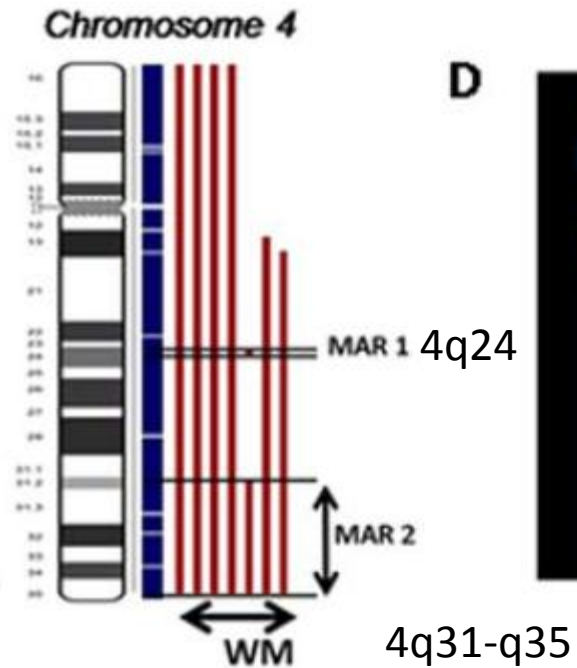
A



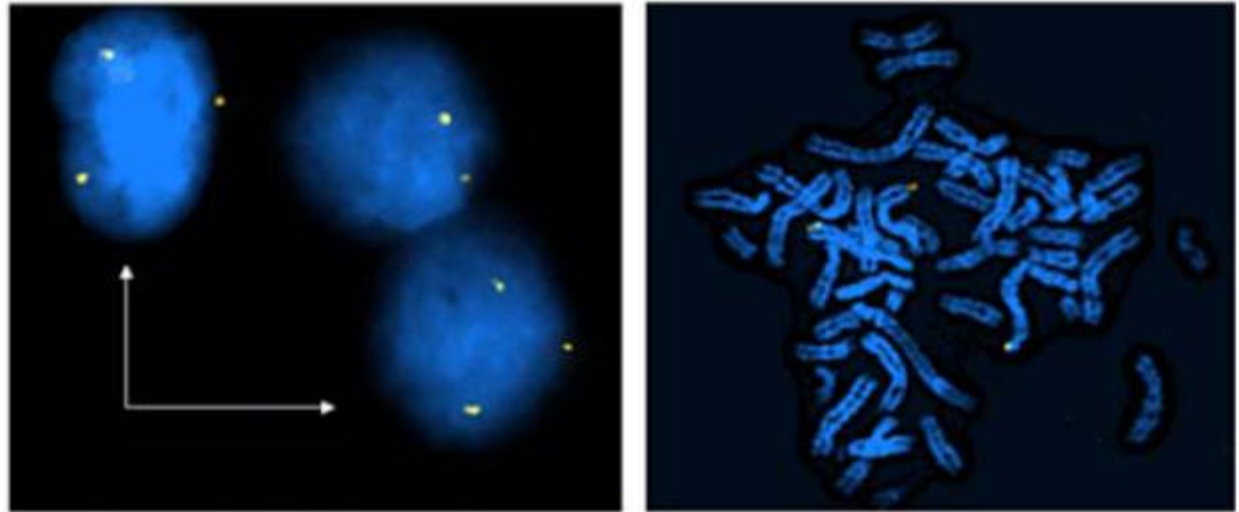
Terre et al., Leukemia 2006

Trisomie 4

Sonde CEP4 : chimérique
→ Sonde FIP1L1/CHIC1/PDGFR A



D



S Poulain et al., AJH 2013

- Sonde FIP1L1/CHIC1/PDGFR (4q12) : peut rater des trisomies 4 partielles
- Sonde télomérique ?

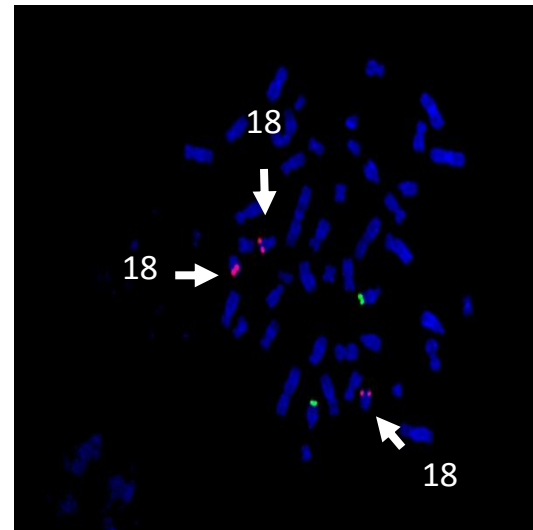
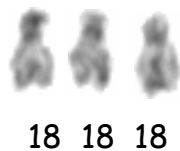
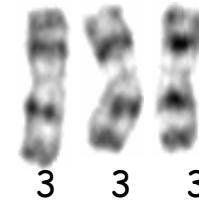
Lymphome de la zone marginale splénique

Anomalies les plus fréquentes :

Délétion 7q : 26-45% (7q32)

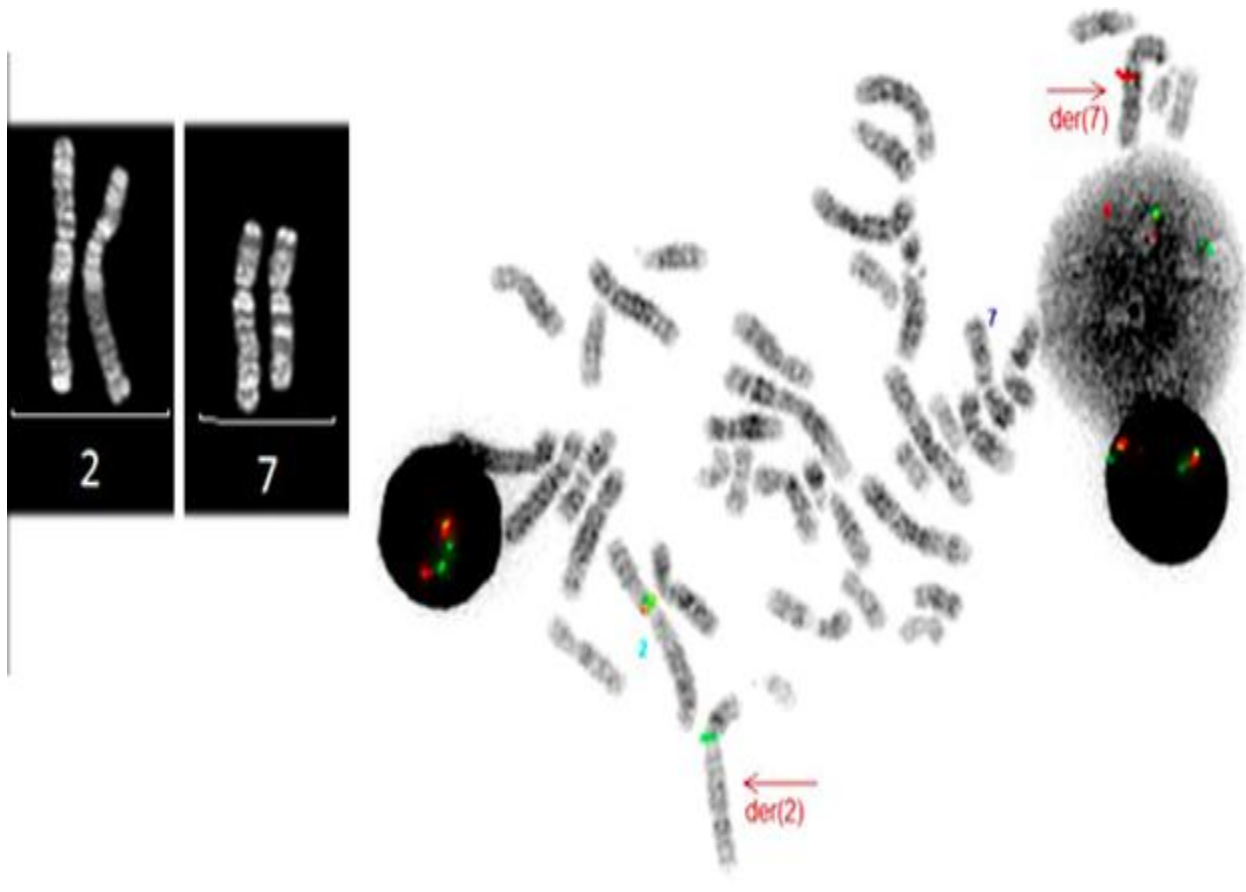
Trisomie 3 / 3q : 19-37%

Trisomie 18 / 18q : 10-28%



Lymphome de la zone marginale splénique

t(2;7)(q21;q32) IGK/CDK6



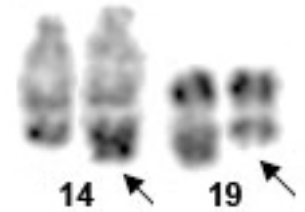
Rare < 5%

	MW	LZMS
Caryotype complexe (≥ 3)	+++	+++
del6q	++++	++
tri4	++	-
tri18	++	+++
del13q	++	+
del17p (TP53)	+	++
del11q (ATM)	+	-
tri 12	+	++
del7q	+/-	+++
tri3	+/-	+++
t(2;7)(IGK/CDK6)	-	+
t(14;19)(IGH/BCL3)	-	+

Schop et al., Blood 2002 ; Terre et al., Leukemia 2006 ; Chapiro et al., Leukemia 2009 ; Nguyen-Khac et al., Haematologica 2012 ; Salido et al., Blood, 2010 ; Poulain et al., Am J Hematol 2013 ; ; Braggio et al., Haematologica 2013 ; Poulain et al., Clin Cancer Res 2017 ; Swerdlow et al., WHO classification 2017 ; Sarkozy et al., Halldorsdottir et al., Genes Chrom Cancer 2011 ; Genes Chrom Cancer 2014;; Chapiro et al., en révision 2019

	MW	LZMS
Caryotype complexe (≥ 3)	+++	+++
del6q	++++	++
tri4	++	-
tri18	++	+++
del13q	++	+
del17p (TP53)	+	++
del11q (ATM)	+	-
tri 12	+	++
del7q	+/-	+++
tri3	+/-	+++
t(2;7)(IGK/CDK6)	-	+
t(14;19)(IGH/BCL3)	-	+

Schop et al., Blood 2002 ; Terre et al., Leukemia 2006 ; Chapiro et al., Leukemia 2009 ; Nguyen-Khac et al., Haematologica 2012 ; Salido et al., Blood, 2010 ; Poulain et al., Am J Hematol 2013 ; ; Braggio et al., Haematologica 2013 ; Poulain et al., Clin Cancer Res 2017 ; Swerdlow et al., WHO classification 2017 ; Sarkozy et al., Halldorsdottir et al., Genes Chrom Cancer 2011 ; Genes Chrom Cancer 2014;; Chapiro et al., en révision 2019



t(14;19)(q32;q13) IGH/BCL3 (et variantes)

→ LLC (70%), Lymphome de la zone marginale (14%), SLPB non classable/autres (16%)

Pas de MW

Souvent LZM en progression

	MW	LZMS	LPL-B	LCM	LLC
Caryotype complexe (≥ 3)	+++	+++	++++	+++	++
del6q	++++	++	++	+/-	+
tri4	++	-	-	-	-
tri18	++	+++	++	+	+
del13q	++	+	++	+++	++++
del17p (TP53)	+	++	+++	++	+
del11q (ATM)	+	-	+	++	++
tri 12	+	++	++	+	++
del7q	+/-	+++	+/-	-	-
tri3	+/-	+++	++	++	+
t(2;7)(IGK/CDK6)	-	+	-	-	+/-
t(14;19)(IGH/BCL3)	-	+	-	+/-	+
t(11;14)	-	+/-	-	++++	-
t(MYC)	-	+	++++	+	+

Schop et al., Blood 2002 ; Terre et al., Leukemia 2006 ; Chapiro et al., Leukemia 2009 ; Nguyen-Khac et al., Haematologica 2012 ; Salido et al., Blood, 2010 ; Poulain et al., Am J Hematol 2013 ; ; Braggio et al., Haematologica 2013 ; Poulain et al., Clin Cancer Res 2017 ; Swerdlow et al., WHO classification 2017 ; Sarkozy et al., Halldorsdottir et al., Genes Chrom Cancer 2011 ; Genes Chrom Cancer 2014;; Chapiro et al., en révision 2019

	MW	LZMS	LPL-B	LCM	LLC
Caryotype complexe (≥ 3)	+++	+++	++++	+++	++
del6q	++++	++	++	+/-	+
tri4	++	-	-	-	-
tri18	++	+++	++	+	+
del13q	++	+	++	+++	++++
del17p (TP53)	+	++	+++	++	+
del11q (ATM)	+	-	+	++	++
tri 12	+	++	++	+	++
del7q	+/-	+++	+/-	-	-
tri3	+/-	+++	++	++	+
t(2;7)(IGK/CDK6)	-	+	-	-	+/-
t(14;19)(IGH/BCL3)	-	+	-	+/-	+
t(11;14)	-	+/-	-	++++	-
t(MYC)	-	+	++++	+	+

Schop et al., Blood 2002 ; Terre et al., Leukemia 2006 ; Chapiro et al., Leukemia 2009 ; Nguyen-Khac et al., Haematologica 2012 ; Salido et al., Blood, 2010 ; Poulain et al., Am J Hematol 2013 ; ; Braggio et al., Haematologica 2013 ; Poulain et al., Clin Cancer Res 2017 ; Swerdlow et al., WHO classification 2017 ; Sarkozy et al., Halldorsdottir et al., Genes Chrom Cancer 2011 ; Genes Chrom Cancer 2014;; Chapiro et al., en révision 2019

Homme, hyperlymphocytose + pic IgM

NUMÉRATION

Leucocytes	H 21.53 x10 ⁹ /l	(4.00 - 10.00)
Hématies	5.27 x10 ¹² /l	(4.50 - 5.80)
Hémoglobine	15.0 g/dl	(13.0 - 17.5)
Hématocrite	44.8 %	(40.0 - 54.0)
VGM	85.0 fl	(80.0 - 100.0)
TCMH	28.5 pg	(27.0 - 32.0)
CCMH	33.5 g/dl	(32.0 - 36.0)
Plaquettes	343 x10 ⁹ /l	(150 - 400)

FORMULE LEUCOCYTAIRE

Polynucléaires Neutrophiles	20.0 %	
Soit	4.31 x10 ⁹ /l	(2.00 - 7.50)
Polynucléaires Eosinophiles	0.0 %	
Soit	0.00 x10 ⁹ /l	(0.00 - 0.50)
Polynucléaires Basophiles	1.0 %	
Soit	H 0.22 x10 ⁹ /l	(<0.20)
Lymphocytes	74.0 %	
Soit	H 15.93 x10 ⁹ /l	(1.50 - 4.00)

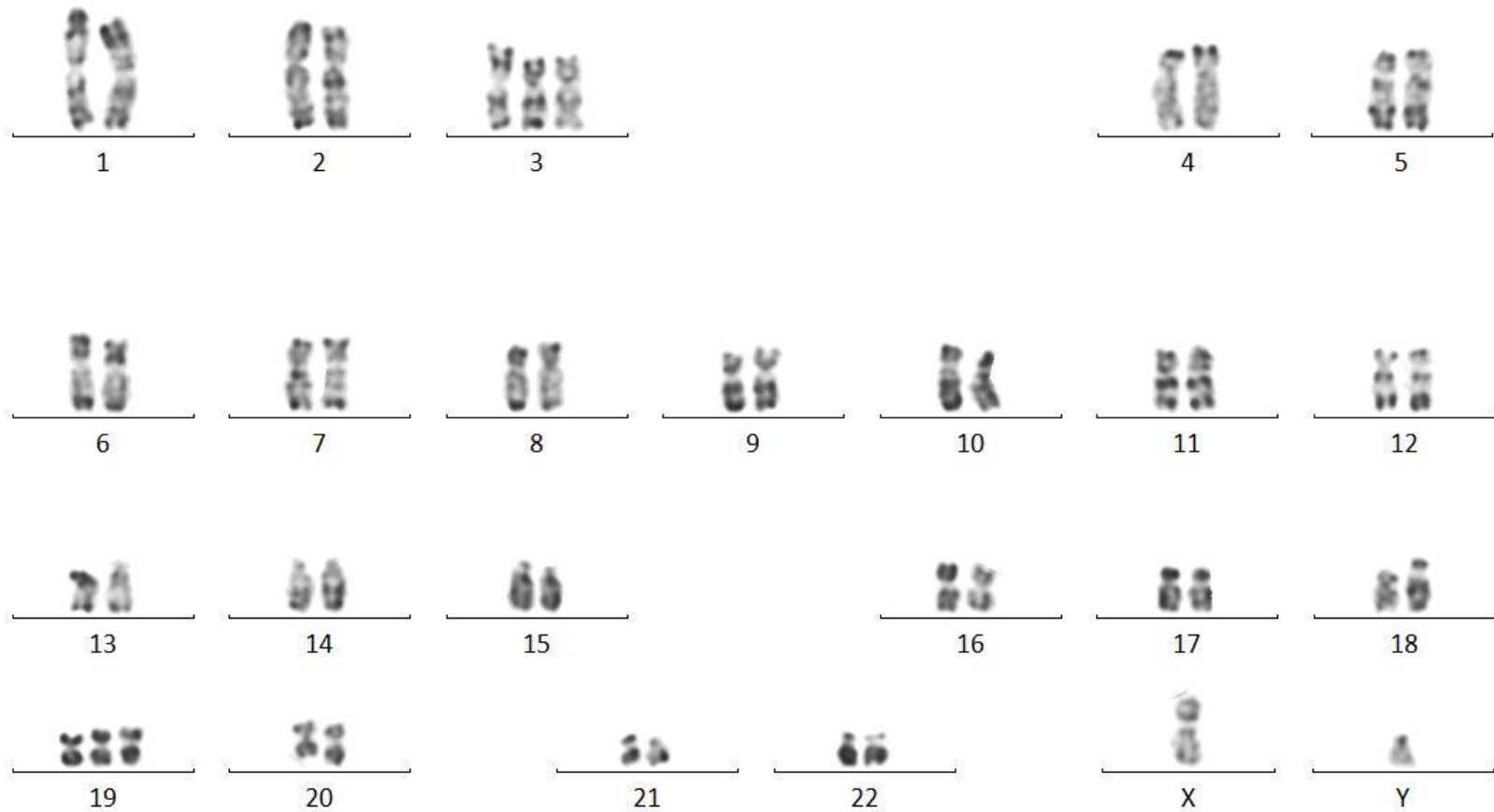
Population lymphoïde pleomorphe avec des lymphocytes matures, quelques lymphocytes à cytoplasme étendu, rares lymphoplasmocytoides et prolymphocytes. Aspect plutôt évocateur d'un lymphome de la zone marginale que maladie de Waldenström

Monocytes	5.0 %	
Soit	H 1.08 x10 ⁹ /l	(0.15 - 1.00)

Hyperlymphocytose avec présence d'une population lymphocytaire B, monotypique kappa de faible intensité, FMC7/CD20/CD23/CD13+, CD79b/CD22/CD200+ de faible intensité, CD5/CD27+ partiel, CD43/CD38/CD10/ROR1-, représentant 79% des lymphocytes, soit 50% des leucocytes.

Phénotype compatible avec un syndrome lymphoprolifératif chronique B, score de Matutes à 3-4, évocateur d'une maladie de Waldenström (CD13+ et CD22+ de faible intensité) plus que d'une LLC (CD20+, CD200+ de faible intensité et CD43/ROR1-).

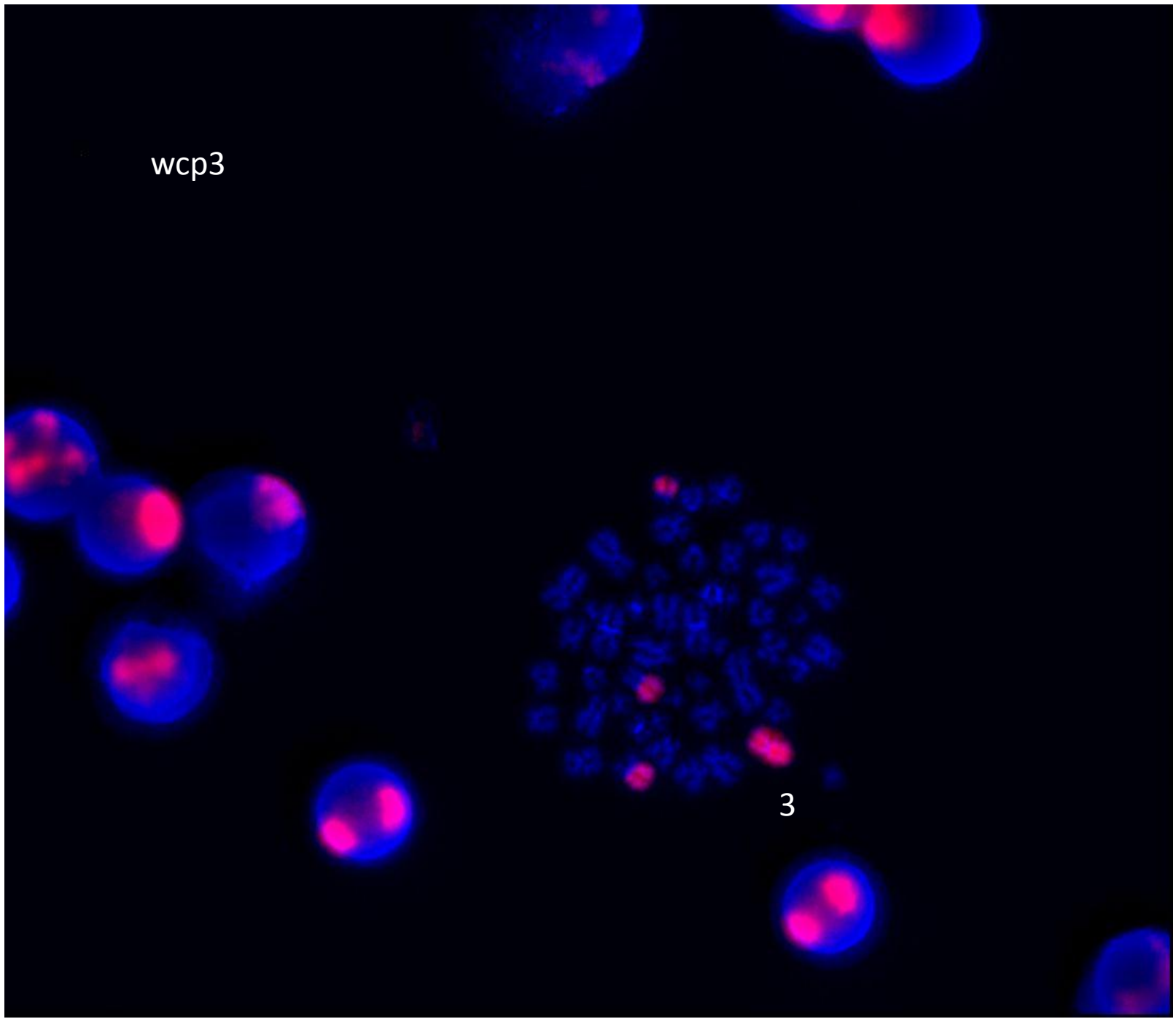
MYD88 : Analyse réalisée par NGS. Présence d'une mutation c.794T>C faux sens (p.Leu265Pro) dans l'exon 5 du gène MYD88 (VAF : 27%). Cette mutation a préalablement été identifiée comme ayant un effet délétère.



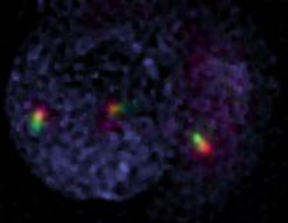
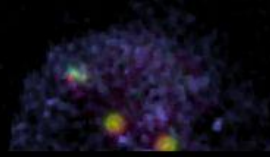
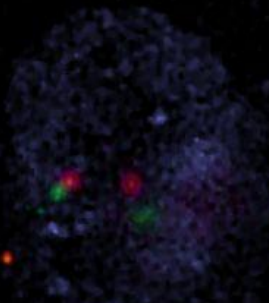
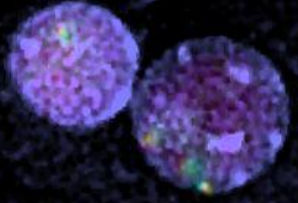
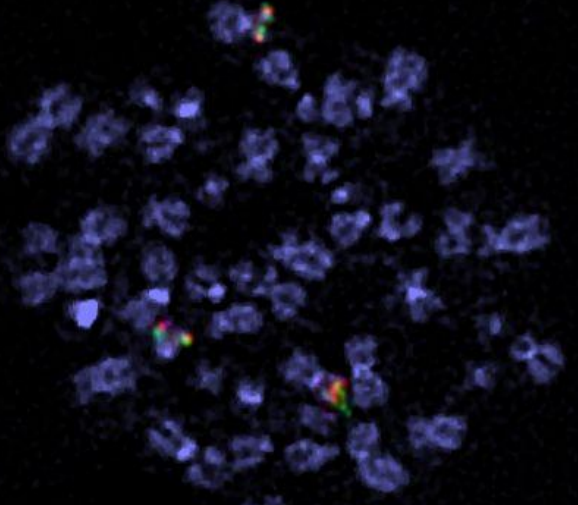
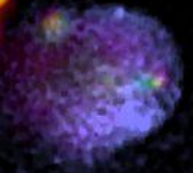
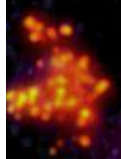
48,XY,t(3;18)(q11;p11),+der(3)t(3;18),+19[14]/46,XY[6]
 →tri3q, tri18q

wcp3

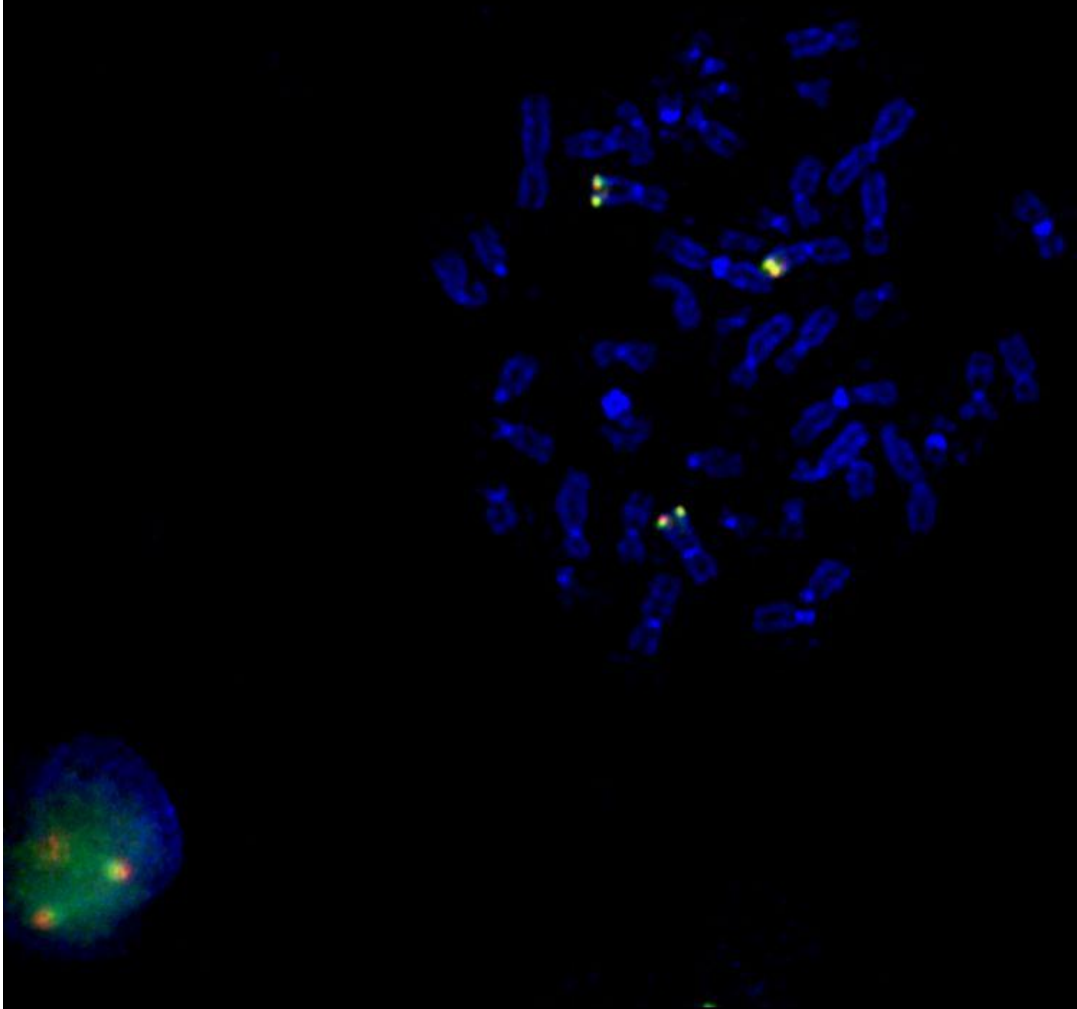
3



BCL2



BCL6



Caryotype

- Examen facile à réaliser
- Experts sur toute la France
- Recommandations du GFCH : homogénéisation des pratiques, arbres décisionnels
- Peut être rendu rapidement

- Analyse globale du génome
- Peut en une seule analyse voir translocations, pertes, gains

→ aide importante pour les formes frontières MW/LZMS